

文章编号: 1004-0609(2005)10-1550-05

# TiC掺杂对热压合成 $\text{Ti}_2\text{AlC}$ 材料的影响<sup>①</sup>

王 萍<sup>1, 2</sup>, 梅炳初<sup>1</sup>, 洪小林<sup>1</sup>, 朱教群<sup>1</sup>, 周卫兵<sup>1</sup>

(1. 武汉理工大学 材料复合新技术国家重点实验室, 武汉 430070;  
2. 武汉理工大学 理学院, 武汉 430070)

**摘要:**采用热压工艺合成了 $\text{Ti}_2\text{AlC}$ 块体材料。在不同温度时,通过X射线衍射分析了掺入不同含量TiC混合粉经热压合成试样的物相组成,并采用SEM观察所合成试样的显微结构。结果发现:完全以元素粉为原料不掺TiC的混合粉经1500℃热压60 min合成 $\text{Ti}_2\text{AlC}$ 块体材料,且产物中含有 $\text{TiC}$ 和 $\text{Ti}_3\text{AlC}_2$ 杂相;掺入0.5 mol或1.0 mol TiC混合粉经1400℃热压60 min后合成不含 $\text{TiC}$ 且只含少量 $\text{Ti}_3\text{AlC}_2$ 的 $\text{Ti}_2\text{AlC}$ 块体材料。同时,探讨了TiC对合成 $\text{Ti}_2\text{AlC}$ 块体材料的影响机理。

**关键词:**热压;碳化铝钛;碳化钛

中图分类号: TQ 174

文献标识码: A

## Effect of TiC addition on synthesis of $\text{Ti}_2\text{AlC}$ by hot pressing

WANG Ping<sup>1, 2</sup>, MEI Bing-chu<sup>1</sup>, HONG Xiao-lin<sup>1</sup>, ZHU Jiao-qun<sup>1</sup>, ZHOU Weibing<sup>1</sup>

(1. State Key Laboratory of Advanced Technology for Materials Synthesis and Processing,  
Wuhan University of Technology, Wuhan 430070, China;  
2. School of Science, Wuhan University of Technology, Wuhan 430070, China)

**Abstract:**  $\text{Ti}_2\text{AlC}$  bulk materials were synthesized by hot pressing mixture powders with different contents of TiC addition. X-ray diffractometry was used to detect the phase composition and scanning electron microscopy (SEM) was used to investigate the microstructures of samples synthesized at different temperatures. The results show that  $\text{Ti}_2\text{AlC}$  bulk materials can be synthesized by hot pressing elemental mixture powders without TiC addition at 1500 °C for 60 min, in which  $\text{TiC}$  and  $\text{Ti}_3\text{AlC}_2$  exist as secondary phases. By adding 0.5 mol or 1.0 mol TiC into the raw mixtures,  $\text{Ti}_2\text{AlC}$  can be fabricated by hot pressing at 1400 °C for 60 min, and there exist only a small amount of  $\text{Ti}_3\text{AlC}_2$  as secondary phase. At the same time, the effect mechanism of TiC on synthesis of  $\text{Ti}_2\text{AlC}$  bulk materials were investigated.

**Key words:** hot pressing; titanium aluminum carbide; titanium carbide

早在20世纪70年代,Jeitschko和Nowotny报道了 $\text{Ti}_2\text{AlC}$ 化合物的存在<sup>[1]</sup>。直到最近,人们对 $\text{Ti}_2\text{AlC}$ 的研究才逐渐增多。由于人们发现 $\text{Ti}_2\text{AlC}$ 具有非同寻常的综合性能,如高断裂韧性<sup>[2]</sup>和高温塑性<sup>[3]</sup>。 $\text{Ti}_2\text{AlC}$ 的显微结构由层状颗粒组成,因此它也被称为纳米层状陶瓷<sup>[4]</sup>。而与一般脆性陶瓷不同的是, $\text{Ti}_2\text{AlC}$ 并不脆,它像金属一

样易于机械加工<sup>[5]</sup>。这种性能的优势使 $\text{Ti}_2\text{AlC}$ 很有可能在许多要求非常复杂形状结构的领域中广泛应用。

但由单相 $\text{Ti}_2\text{AlC}$ 块体材料的制备非常困难。Barsoum等<sup>[5, 6]</sup>以Ti、 $\text{Al}_4\text{C}_3$ 和石墨为原料,采用热等静压工艺于1300 °C保温30 h后获得了比较纯的 $\text{Ti}_2\text{AlC}$ 材料和热压工艺在1600 °C保温4 h获得

① 基金项目:国家自然科学基金资助项目(50172037);教育部重点科技资助项目(02052)

收稿日期:2005-03-07;修订日期:2005-05-31

作者简介:王萍(1970-),女,副教授,博士研究生

通讯作者:梅炳初,教授;电话:027-87651837-8406;E-mail:bcmei@mail.whut.edu.cn

了  $Ti_2AlC$  多晶块体材料。由于原料  $Al_4C_3$  具有强烈的吸湿性, 因此, 这两种工艺合成的  $Ti_2AlC$  材料都含有约 4% (体积分数)  $Al_2O_3$ 。同时, 由于  $Al_4C_3$  的反应活性低, 因此以它为原料就要求合成温度很高或者合成时间很长。近年来, 周延春等<sup>[2]</sup>以 Ti 粉、Al 粉和石墨粉等元素粉为原料, 采用一种液固反应合成法制备致密的  $Ti_2AlC$  材料。这种方法具有合成时间短和合成温度低的优点。另外, 有研究表明, TiC 是合成  $Ti_2AlC$  的中间相<sup>[7~9]</sup>, 以 TiC 取代部分元素粉为原料可以加速反应的进行, 有助于采用自蔓延高温合成工艺合成  $Ti_2AlC$  粉体<sup>[7]</sup>。因此, 本文作者在原料中添加 TiC 采用热压工艺合成  $Ti_2AlC$  块体材料, 研究了添加前后的性能差异(使用的碳质原料为活性炭)。

## 1 实验

实验所采用的原料为 TiC 粉、Ti 粉、Al 粉和活性炭, 其质量分数分别为 99.8%、99.0%、99.8% 和 99.0%, 平均粒径分别为 4.5、10.6、12.8 和 13.2  $\mu m$ 。所有原料都从中国有色金属研究院购得。按 2.0Ti/1.0Al/1.0C、0.5TiC/1.5Ti/1.0Al/0.5C 和 1.0TiC/1.0Ti/1.0Al(摩尔比)配比称取质量后在塑料混料瓶中混合 24 h。再将混合粉放入直径为 20 mm 的石墨模具中, 然后在热压烧结炉中按设定的工艺过程进行材料合成: 以 5  $^{\circ}C/min$  升温到 300  $^{\circ}C$  之后直接以 60  $^{\circ}C/min$  升温到热压温度, 在设定温度下保温 60 min。其中 2.0Ti/1.0Al/1.0C 混合粉的热压温度分别为 1400、1500 和 1600  $^{\circ}C$ 。0.5TiC/1.5Ti/1.0Al/0.5C 和 1.0TiC/1.0Ti/1.0Al 混合粉的热压温度都分别为 1300、1400 和 1500  $^{\circ}C$ , 热压压力均为 30 MPa, 最后自然冷却至室温。升降温过程中均采用流动氩气保护。所得圆片试样的厚度为 4~6 mm。

所合成试样首先除去表面反应层, 然后用转靶 X 射线衍射仪(D/MAX-RB, RIGAKU Corporation, Japan) 分析其物相组成, 用扫描电镜(JSM-5610LV, JEOL Ltd., Japan) 观察试样的显微结构。

## 2 结果与讨论

### 2.1 添加不同量 TiC 合成 $Ti_2AlC$

图 1~3 所示分别为 2.0Ti/1.0Al/1.0C、0.5TiC/1.5Ti/1.0Al/0.5C 和 1.0TiC/1.0Ti/1.0Al

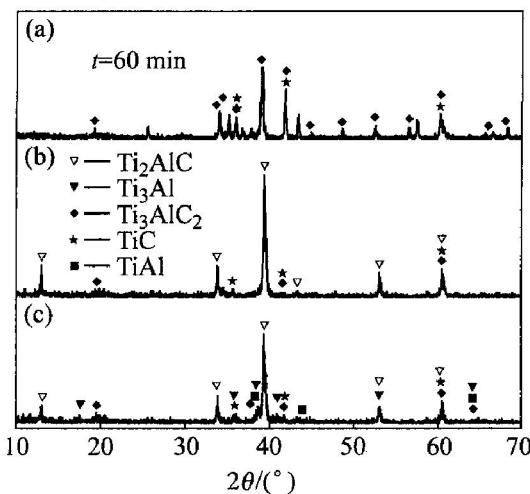


图 1 2.0Ti/1.0Al/1.0C 混合粉  
经不同温度热压后试样的 X 射线衍射谱

**Fig. 2** XRD patterns of samples synthesized by hot pressing 2.0Ti/1.0Al/1.0C mixture powders at different temperatures

(a)  $-1400\ ^{\circ}C$ ; (b)  $-1500\ ^{\circ}C$ ; (c)  $-1600\ ^{\circ}C$

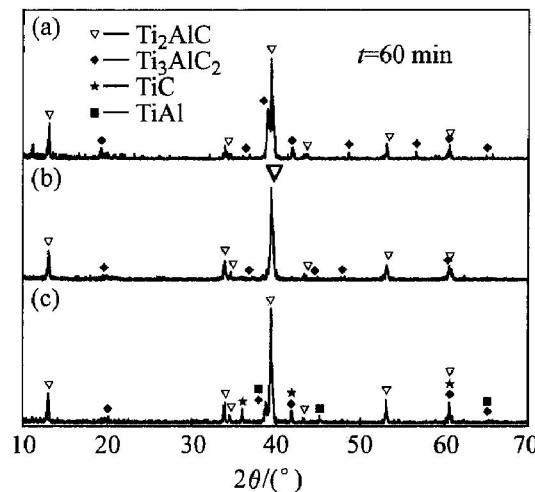


图 2 0.5TiC/1.5Ti/1.0Al/0.5C 混合粉  
经不同温度热压后试样的 X 射线衍射谱

**Fig. 1** XRD patterns of samples synthesized by hot pressing 0.5TiC/1.5Ti/1.0Al/0.5C mixture powders at different temperatures

(a)  $-1300\ ^{\circ}C$ ; (b)  $-1400\ ^{\circ}C$ ; (c)  $-1500\ ^{\circ}C$

1.0Al 3 种混合粉在不同温度热压 60 min 后所制备试样的 X 射线衍射谱。

从图 1 可以看出, 以元素粉为原料不掺 TiC 的混合物于 1400  $^{\circ}C$  下热压后的主晶相为  $Ti_2AlC$ , 同时含有比较多的金属间化合物  $TiAl$ 、 $Ti_3Al$ 、 $Ti_3AlC_2$  和  $TiC$ 。当热压温度升高到 1500  $^{\circ}C$  后,  $TiAl$  金属间化合物的特征峰消失,  $Ti_2AlC$  的峰强增加, 表明  $Ti_2AlC$  的含量增大。此时, 试样中仍然

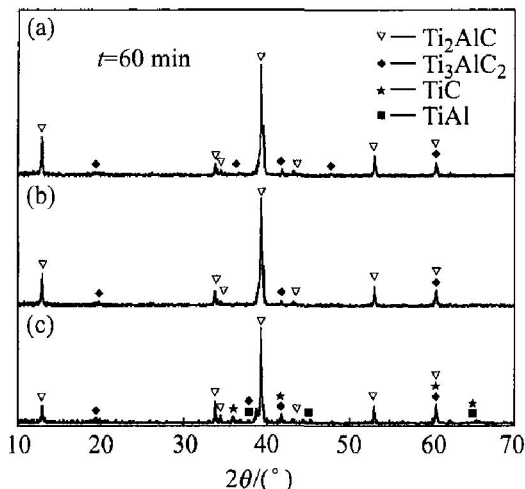


图3 1.0TiC/1.0Ti/1.0Al混合粉末经不同温度热压后试样的X射线衍射谱

**Fig.3** XRD patterns of samples synthesized by hot pressing 1.0TiC/1.0Ti/1.0Al mixture powders at different temperatures  
(a) -1300 °C; (b) -1400 °C; (c) -1500 °C

含有少量 TiC 和  $Ti_3AlC_2$ 。继续升高热压温度至 1600 °C 后，试样的主晶相转变为  $Ti_3AlC_2$ ，同时还出现了非常多的 TiC 和其它未知相的特征峰。完全以元素粉为原料不掺 TiC 合成  $Ti_2AlC$  的较佳温度为 1500 °C，此时所合成试样中还含有杂相 TiC 和  $Ti_3AlC_2$ 。

从图 2 可以看出，原料中掺入 0.5 mol TiC 后于 1300 °C 下热压 60 min 所合成的试样以  $Ti_2AlC$  为主晶相，另外还含有大量 TiC、TiAl 金属间化合物和  $Ti_3AlC_2$ 。当温度升高到 1400 °C 后，只观察到  $Ti_2AlC$  和极少量  $Ti_3AlC_2$  的特征峰，其余相的特征峰消失；于 1500 °C 热压 60 min 后，所合成试样的 X 射线衍射谱与 1400 °C 的基本相同，只是  $Ti_3AlC_2$  的含量明显增大。图 2 所示为掺 0.5 mol TiC 后能够在 1400 °C 合成仅含有少量第二相  $Ti_3AlC_2$  的  $Ti_2AlC$  材料。由图 2 和 3 可看出，两者的变化规律完全相同。

从图 1~3 中可得如下规律：在热压时间相同（60 min）的情况下，完全以元素粉为原料不掺 TiC 只能在 1500 °C 获得含有 TiC 和  $Ti_3AlC_2$  的  $Ti_2AlC$  材料，掺入 0.5 mol TiC 后在 1400 °C 就能获得不含 TiC，只含有少量第二相  $Ti_3AlC_2$  的  $Ti_2AlC$  材料。继续掺入 1.0 mol TiC 后并不能获得更好的效果。也就是说，原料中不掺 TiC 时产物中含有 TiC，且  $Ti_2AlC$  的合成温度更高；掺入一定量 TiC 后可以在更低的温度以更快的速度合成不含 TiC 的  $Ti_2AlC$ 。掺一定量 TiC 既增大了反应速度也提高了

产物纯度，对这种现象可以从动力学角度进行解释。TiC 是生成  $Ti_2AlC$  的关键中间物质<sup>[2, 7~9]</sup>，它直接参与了生成  $Ti_2AlC$  的反应。

当原料中未加 TiC 时，Ti 和 C 之间需要通过反应先合成 TiC 后再反应才能合成  $Ti_2AlC$ ，而 TiC 的生成量相对于要反应生成  $Ti_2AlC$  所需的 TiC 量滞后。当加入 TiC 时，反应体系中有较多的 TiC，只要达到反应温度就可以直接合成  $Ti_2AlC$ 。随着 TiC 掺入量的增多，反应生成  $Ti_2AlC$  的速度越快，单位时间内生成  $Ti_2AlC$  的量就越多。但是，当 TiC 的掺入量达到某一个值使得坯体中预掺的 TiC 和原位生成的 TiC 能够满足生成  $Ti_2AlC$  所需 TiC 的消耗速度时，继续增加 TiC，掺量显得多余，不大可能明显进一步提高  $Ti_2AlC$  的生成速度，且这个值在 0.5 mol 附近（低于 0.5 mol）。

其次，Ti 与 C 之间属于强放热反应<sup>[10~11]</sup>，反应放热使坯体温度超过热压温度。而 Ti-Al-C 三元系统中 Al 的蒸汽压非常高<sup>[12]</sup>，在高温下很容易挥发损失。未加 TiC 时，原料中的 Ti 粉与 C 粉反应生成 TiC 的同时放出大量的热使坯体温度升高，Al 的损失非常严重。随着 TiC 掺入量的增加，可以反应的 Ti 粉和 C 粉减少，反应放热减少，坯体温度降低，Al 的挥发损失也就减小了。Al 的缺失必然使产物中缺 Al 化合物增多。这就是掺 TiC 后产物中 TiC 杂相反而消失、 $Ti_2AlC$  的纯度得到提高（见图 1(b)、图 2(c) 和图 3(c)）的原因。

由图 1~3 可看出，随着温度的升高，Ti-Al 金属间化合物出现了从无到有再到无的变化过程，这表明 Ti-Al 金属间化合物是合成  $Ti_2AlC$  的另一种中间产物。当然，这种 Ti-Al 金属间化合物的组成并不是固定不变的。以元素粉为原料不掺 TiC 时的金属间化合物除 TiAl 外还包括含 Al 量更低的  $Ti_3Al$ （见图 1），而掺入 TiC 后，金属间化合物为 TiAl（见图 2 和 3）。这也从另外一个方面证实了以元素粉为原料时 Al 的缺失更严重。

## 2.2 $Ti_2AlC$ 的显微结构

图 4 所示为添加不同 TiC 合成试样的 SEM 像。由图 4 可见，所有合成产物基本上都是由层状颗粒组成，结合 X 射线衍射谱可知，这些层状颗粒基本上都是  $Ti_2AlC$ <sup>[13]</sup>。未添加 TiC 时于 1400 °C 热压 60 min 合成试样中的  $Ti_2AlC$  平均颗粒尺寸约为 10  $\mu\text{m}$ （见图 4(a)）。经 1500 °C 热压后，层状结构更明显，而且颗粒长大，尺寸为 15~20  $\mu\text{m}$ （见图 4(b)）。添加 0.5 mol 和 1.0 mol TiC 后于 1400 °C 所

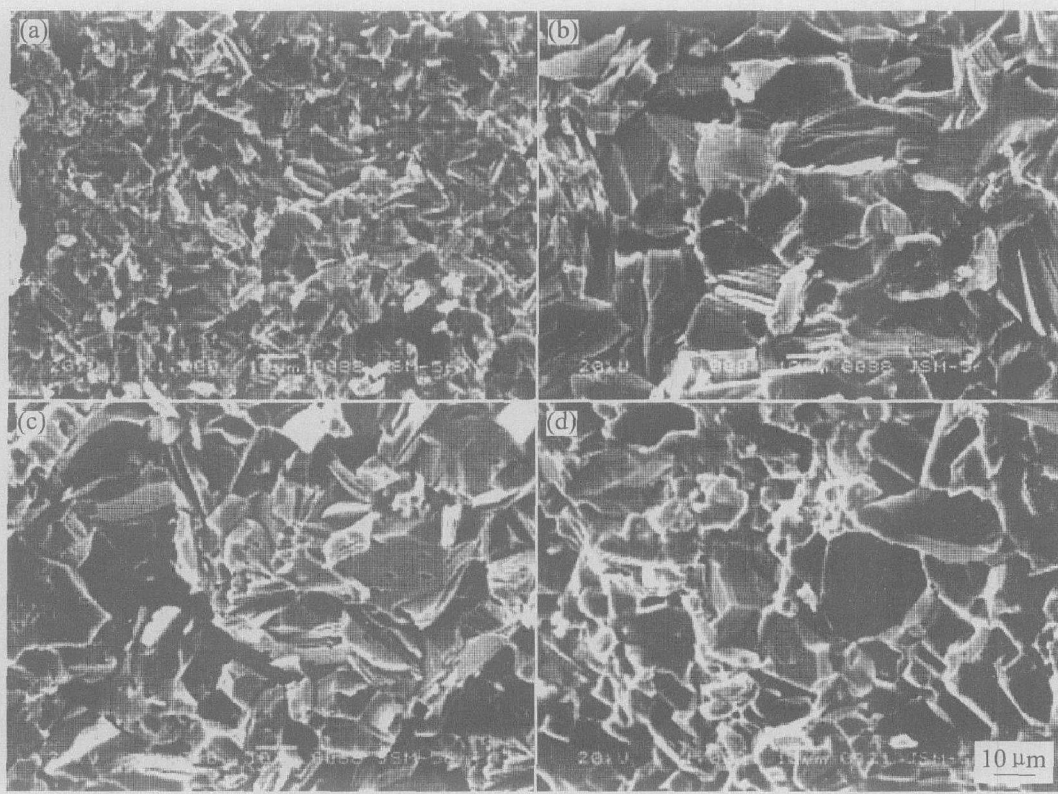


图 4 不同试样的 SEM 像

**Fig. 4** SEM images of samples

(a)  $-2.0Ti/1.0Al/1.0C$ ,  $1400\text{ }^{\circ}\text{C}$ ; (b)  $-2.0Ti/1.0Al/1.0C$ ,  $1500\text{ }^{\circ}\text{C}$ ;  
 (c)  $-0.5TiC/1.5Ti/1.0Al/0.5C$ ,  $1400\text{ }^{\circ}\text{C}$ ; (d)  $-1.0TiC/1.0Ti/1.0Al$ ,  $1400\text{ }^{\circ}\text{C}$

合成试样的颗粒尺寸基本相同, 都约为  $15\text{ }\mu\text{m}$ (见图 4(c) 和 (d)), 都比不添加 TiC 在同一温度下热压相同时间合成试样的颗粒尺寸更大。由此说明, TiC 是合成  $Ti_2AlC$  的中间产物, 添加 TiC 有助于提高  $Ti_2AlC$  的合成速度, 添加  $0.5\text{ mol}$  TiC 能使其合成速度达到最大。

### 3 结论

1) TiC 和  $Ti_3Al$  金属间化合物是合成  $Ti_2AlC$  的中间产物。在元素粉原料中添加 TiC 能够加速反应的进行, 使反应在更低的温度下以相同的时间完成。掺 TiC 还能减少所合成  $Ti_2AlC$  试样中的杂相, 提高  $Ti_2AlC$  的含量。

2) 以元素粉为原料不掺 TiC 时,  $Ti_2AlC$  的合成温度为  $1500\text{ }^{\circ}\text{C}$ , 且产物中含有 TiC 和  $Ti_3AlC_2$  两种杂质相, 掺入  $0.5\text{ mol}$  TiC 后合成  $Ti_2AlC$  的温度为  $1400\text{ }^{\circ}\text{C}$ , 且产物中基本不含 TiC, 只含有  $Ti_3AlC_2$  一种杂质相; 继续增加 TiC 的掺量并不能取得更好的合成效果。

### REFERENCES

- [1] Jeitschko W, Nowotny H, Benesovsky F. Carbon containing ternary compounds (H-phase) [J]. Monatsh Chem, 1963, 94: 672–676.
- [2] Wang X H, Zhou Y C. Solid+liquid reaction synthesis and simultaneous densification of polycrystalline  $Ti_2AlC$  [J]. Z Metallkd, 2002, 93(1): 66–71.
- [3] Zhou Y C, Wang X H. Deformation of polycrystalline  $Ti_2AlC$  under compression [J]. Materials Research Innovation, 2001, 5: 87–93.
- [4] Barsoum M W. The  $M_{n+1}AX_n$  phases: a new class of solids; thermodynamically stable nanolaminates [J]. Progress in Solid State Chemistry, 2000, 28: 201–281.
- [5] Barsoum M W, Ali M, El-Raghy T. Processing and characterization of  $Ti_2AlC$ ,  $Ti_2AlN$ , and  $Ti_2AlC_{0.5}-N_{0.5}$  [J]. Metallurgical and Materials Transactions A, 2000, 31A(7): 1857–1865.
- [6] Barsoum M W, Brodkin D T, El-Raghy T. Layered machinable ceramics for high temperature applications [J]. Scripta Mater, 1997, 36(5): 535–541.
- [7] 郭俊明, 陈克新, 葛振斌, 等. 添加 TiC 对燃烧合成  $Ti_2AlC$  粉体的影响 [J]. 金属学报, 2003, 39(3): 315

- 319.
- GUO Jun-ming, CHEN Ke-xin, GE Zhen-bin, et al. Effects of TiC addition on combustion synthesis of  $Ti_2AlC$  powders [J]. *Acta Metallurgica Sinica*, 2003, 39(3): 315 - 319.
- [8] 郭俊明, 陈克新, 葛振斌, 等. 燃烧合成三元碳化合物  $Ti_2AlC_{1-x}$  [J]. 稀有金属材料与工程, 2003, 32(12): 1029 - 1032.
- GUO Jun-ming, CHEN Ke-xin, GE Zhen-bin, et al. Combustion synthesis ternary carbide  $Ti_2AlC_{1-x}$  [J]. *Rare Metal Materials and Engineering*, 2003, 32(12): 1029 - 1032.
- [9] Tomoshige R, Matsushita T. Production of titanium-aluminum-carbide ternary composites with dispersed fine TiC particles by combustion synthesis and their microstructure observation [J]. *Journal of the Ceramic Society of Japan*, 1996, 104(1206): 94 - 100.
- [10] 孙晓冬, 梅炳初, 袁润章, 等. TiC-Al 体系的燃烧反应合成 [J]. 武汉工业大学学报, 1997, 19(1): 8 - 11.
- SUN Xiao-dong, MEI Bing-chu, YUAN Run-zhang, et al. Combustion synthesis of TiC-Al system [J]. *Journal of Wuhan University of Technology*, 1997, 19(1): 8 - 11.
- [11] 洪小林, 梅炳初, 朱教群, 等. 放电等离子烧结制备  $Ti_2AlC$  材料的研究 [J]. 硅酸盐学报, 2003, 31(10): 991 - 993.
- HONG Xiao-lin, MEI Bing-chu, ZHU Jiao-qun, et al. Study on the fabrication of  $Ti_2AlC$  by spark plasma sintering elemental powders [J]. *Journal of the Chinese Ceramic Society*, 2003, 31(10): 991 - 993.
- [12] 苏彦庆, 郭景杰, 贾均, 等. 真空熔炼 TiAl 金属间化合物过程中合金元素的挥发行 [J]. 铸造, 1999, 3: 1 - 4.
- SU Yan-qing, GUO Jing-jie, JIA Jun, et al. The evaporation of alloying element during vacuum melting of TiAl intermetallics [J]. *Cast*, 1999, 3: 1 - 4.

(编辑 李艳红)